

Etude du spectre de l'équation de McKendrick semi-discrétisée

Laurent Attias¹, Vincent Siess², Stéphane Labbé¹

¹LJLL, Sorbonne Université, ²Dassault Systèmes

CANUM, Île de Ré, 28 mai 2024

- Equation de McKendrick :

$$\begin{cases} \partial_t \phi(t, a) + \partial_a \phi(t, a) + \mu(a)\phi(t, a) = 0 \\ \phi(t, 0) = \int_0^{+\infty} b(a)\phi(t, a) da \\ \phi(0, a) = \phi_0(a) \end{cases}$$

- ϕ : densité de population
 - μ : mortalité
 - b : natalité
 - a : âge
- apparue en épidémiologie [McKendrick, 1925, Kermack and McKendrick, 1927], intervient en démographie
 - étudiée par des méthodes liées aux équations intégrales de Volterra et à la transformation de Laplace [Feller, 1941, Bellman and Cooke, 1963]

- Proposition d'un cadre générique pour les modèles de dynamiques de populations structurées, basé sur l'équation de McKendrick (travaux soumis)

$$\begin{cases} \partial_t \phi(t, a, x) + \partial_a \phi(t, a, x) + \sum_{j=1}^p K_j(t, \phi(t), a, x) = 0 \\ \phi(t, 0, x) = \int_0^{+\infty} \int_{\mathbb{D}} b(t, \phi(t), a, x, y) \phi(t, a, y) dy da \\ \phi(0, a, x) = \phi_0(a, x) \end{cases}$$

- $x \in \mathbb{D}$ où \mathbb{D} est un ensemble d'hyperparamètres \rightarrow compartiments
 - $\phi \in L^1([0, T] \times \mathbb{R}_+ \times \mathbb{D})$: densité de population
 - $K_j \begin{cases} \rightarrow \text{mortalité} \\ \rightarrow \text{échanges entre compartiments} \end{cases}$
 - b : taux de natalité
- Opérateur d'échange K_j de noyau d'échange k_j :
$$K_j(t, \phi(t), a, x) = \int_{\mathbb{D}} (k_j(t, \phi(t), a, x, y) \phi(t, a, y) - k_j(t, \phi(t), a, y, x) \phi(t, a, x)) dy$$

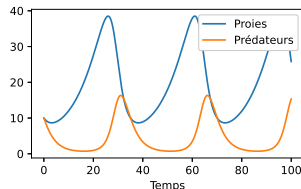
Système proies-prédateurs structuré en âge

Contexte : système proies-prédateurs

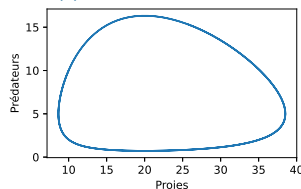
■ Système d'équations de Lotka-Volterra

$$\begin{cases} d_t x(t) = \alpha x(t) - \beta y(t)x(t) \\ d_t y(t) = \delta x(t)y(t) - \gamma y(t) \end{cases}$$

- x : nombre de proies
 - y : nombre de prédateurs
 - α : taux de natalité des proies
 - β : taux de mortalité des proies due à la prédation
 - γ : taux de mortalité des prédateurs
 - δ : taux de natalité des proies due à la prédation
- Voir [Wangersky, 1978, Takeuchi, 1996, Cherniha and Davydovych, 2022] pour une analyse détaillée.



(a) Evolution temporelle



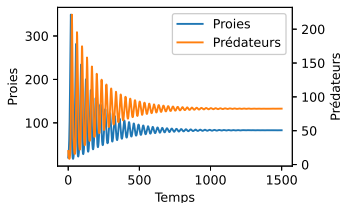
(b) Portrait de phase

Figure 1 – Système proies-prédateurs

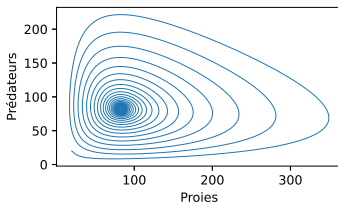
Système proies-prédateurs structuré en âge

$$\left\{ \begin{array}{l} \partial_t x(t, a) + \partial_a x(t, a) + \left(\int_0^{+\infty} \beta(a, \tilde{a}) y(t, \tilde{a}) d\tilde{a} \right) x(t, a) = 0 \\ \partial_t y(t, a) + \partial_a y(t, a) + \gamma(a) y(t, a) = 0 \\ x(t, 0) = \int_0^{+\infty} \alpha(a) x(t, a) da \\ y(t, 0) = \int_0^{+\infty} \int_0^{+\infty} \delta(a, \tilde{a}) x(t, \tilde{a}) d\tilde{a} da \\ x(0, a) = x_0(a) \\ y(0, a) = y_0(a) \end{array} \right.$$

avec α, γ (resp. β, δ) à support compact dans \mathbb{R}_+ (resp. $\mathbb{R}_+ \times \mathbb{R}_+$).



(a) Evolution temporelle



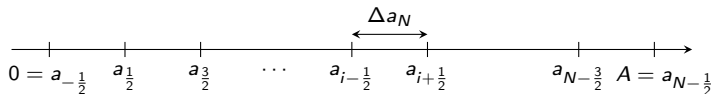
(b) Portrait de phase

Figure 2 – Système proies-prédateurs

Système proie-prédateurs structuré en âge

Semi-discrétisation en âge

- Discrétisation uniforme de $[0, A]$ en N classes d'âge



- Schéma de discrétisation décentré amont :

- $x(t, a_{i+1/2})$ est approché par $\frac{1}{\Delta a_N} \int_{a_{i-1/2}}^{a_{i+1/2}} x(t, a) da$
- $y(t, a_{i+1/2})$ est approché par $\frac{1}{\Delta a_N} \int_{a_{i-1/2}}^{a_{i+1/2}} y(t, a) da$

$$\begin{cases} X_i(t) &= \int_{a_{i-1/2}}^{a_{i+1/2}} x(t, a) da \\ Y_i(t) &= \int_{a_{i-1/2}}^{a_{i+1/2}} y(t, a) da \end{cases}$$

- Équations semi-discrétisées :

$$\left\{ \begin{array}{l} d_t X_i + \frac{X_i - X_{i-1}}{\Delta a_N} + \left(\sum_{k=0}^{N-1} \beta_{ik} Y_k \right) X_i = 0 \quad 1 \leq i \leq N-1 \\ d_t X_0 + \frac{1}{\Delta a_N} X_0 - \sum_{k=0}^{N-1} \alpha_k X_k + \left(\sum_{k=0}^{N-1} \beta_{0k} Y_k \right) X_0 = 0 \\ d_t Y_i + \frac{Y_i - Y_{i-1}}{\Delta a_N} + \gamma_i Y_i = 0 \quad 1 \leq i \leq N-1 \\ d_t Y_0 + \frac{1}{\Delta a_N} Y_0 - \sum_{j=0}^{N-1} \left(\sum_{k=0}^{N-1} \delta_{jk} X_k \right) Y_j + \gamma_0 Y_0 = 0 \end{array} \right.$$

$$\begin{aligned} \alpha_i &= \frac{1}{\Delta a_N} \int_{a_{i-\frac{1}{2}}}^{a_{i+\frac{1}{2}}} \alpha(a) da, & \beta_{ij} &= \frac{1}{\Delta a_N^2} \int_{a_{i-\frac{1}{2}}}^{a_{i+\frac{1}{2}}} \int_{a_{j-\frac{1}{2}}}^{a_{j+\frac{1}{2}}} \beta(a, \tilde{a}) d\tilde{a} da \\ \gamma_i &= \frac{1}{\Delta a_N} \int_{a_{i-\frac{1}{2}}}^{a_{i+\frac{1}{2}}} \gamma(a) da, & \delta_{ij} &= \frac{1}{\Delta a_N^2} \int_{a_{i-\frac{1}{2}}}^{a_{i+\frac{1}{2}}} \int_{a_{j-\frac{1}{2}}}^{a_{j+\frac{1}{2}}} \delta(a, \tilde{a}) d\tilde{a} da \end{aligned}$$

Système proies-prédateurs structuré en âge

Observations numériques

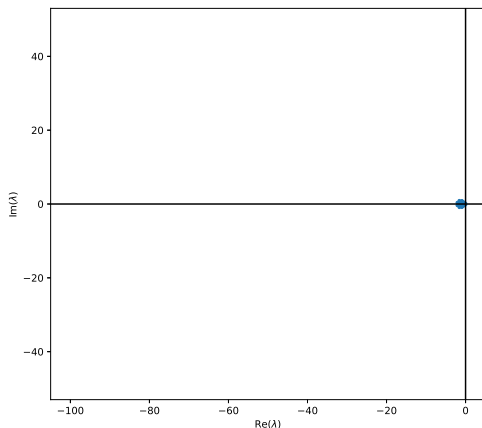


Figure 3 – Valeurs propres de la jacobienne du système proies-prédateurs semi-discrétisé en fin de simulation, pour $N = 10$

Système proies-prédateurs structuré en âge

Observations numériques

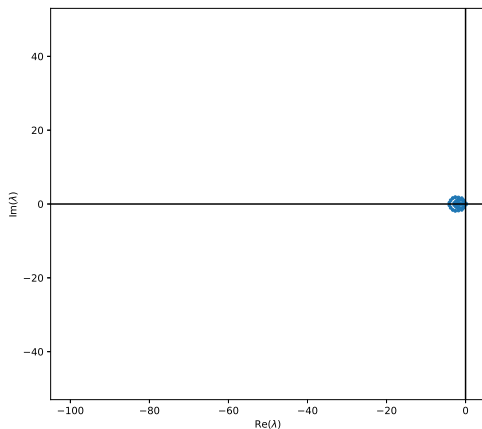


Figure 3 – Valeurs propres de la jacobienne du système proies-prédateurs semi-discrétisé en fin de simulation, pour $N = 20$

Système proies-prédateurs structuré en âge

Observations numériques

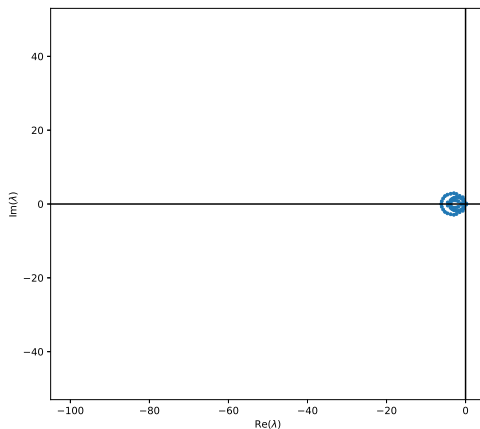


Figure 3 – Valeurs propres de la jacobienne du système proies-prédateurs semi-discrétisé en fin de simulation, pour $N = 30$

Système proies-prédateurs structuré en âge

Observations numériques

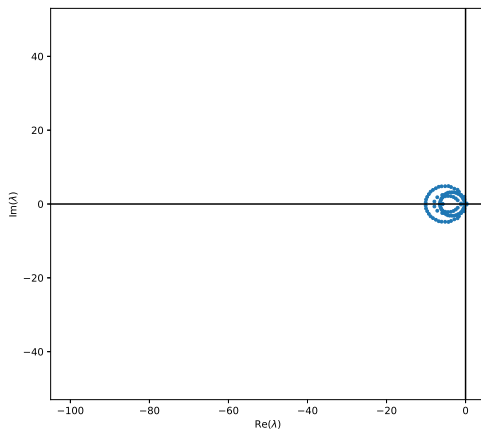


Figure 3 – Valeurs propres de la jacobienne du système proies-prédateurs semi-discrétisé en fin de simulation, pour $N = 50$

Système proies-prédateurs structuré en âge

Observations numériques

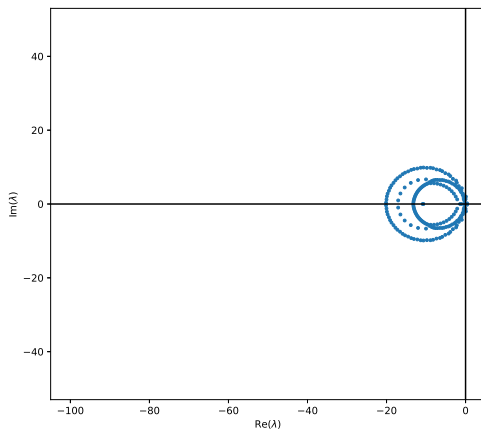


Figure 3 – Valeurs propres de la jacobienne du système proies-prédateurs semi-discrétisé en fin de simulation, pour $N = 100$

Système proies-prédateurs structuré en âge

Observations numériques

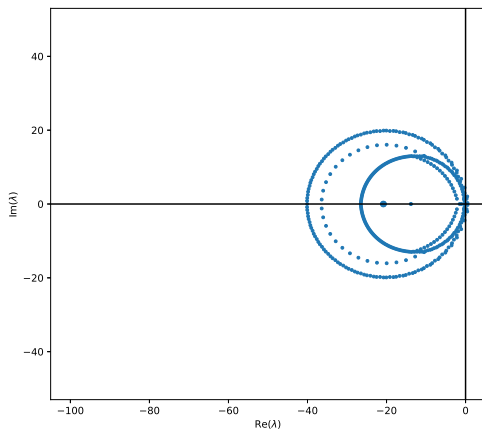


Figure 3 – Valeurs propres de la jacobienne du système proies-prédateurs semi-discrétisé en fin de simulation, pour $N = 200$

Système proies-prédateurs structuré en âge

Observations numériques

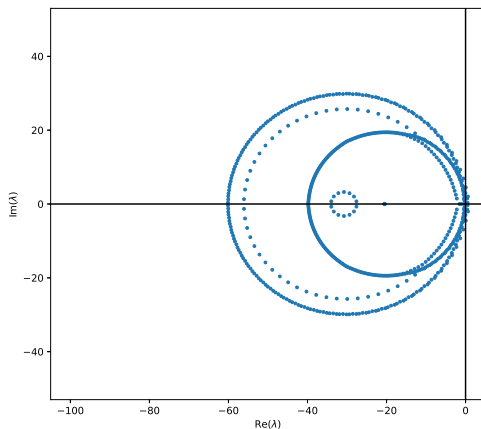


Figure 3 – Valeurs propres de la jacobienne du système proies-prédateurs semi-discrétisé en fin de simulation, pour $N = 300$

Système proies-prédateurs structuré en âge

Observations numériques

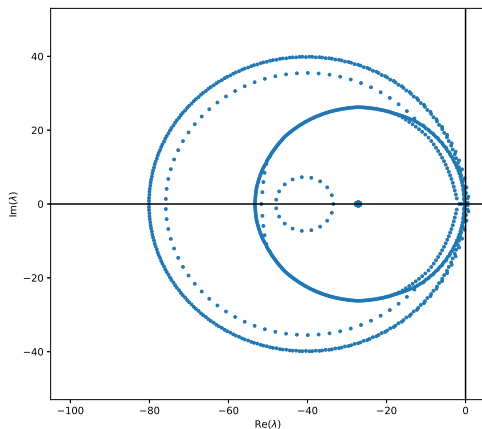


Figure 3 – Valeurs propres de la jacobienne du système proies-prédateurs semi-discrétisé en fin de simulation, pour $N = 400$

Système proies-prédateurs structuré en âge

Observations numériques

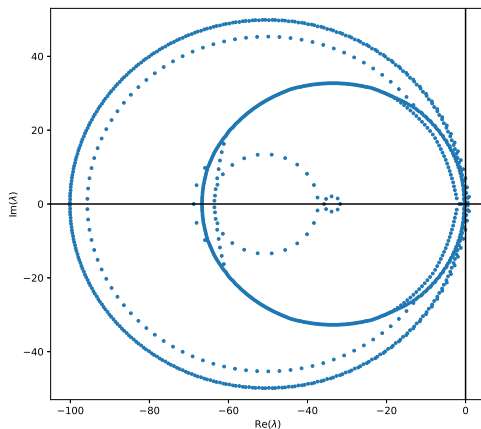


Figure 3 – Valeurs propres de la jacobienne du système proies-prédateurs semi-discrétisé en fin de simulation, pour $N = 500$

Système proie-prédateurs structuré en âge

Passage à une dynamique de population type McKendrick

- Réduction du système Lotka-Volterra à un système McKendrick pur
- Opérateur de McKendrick linéaire
⇒ étudier la stabilité via les valeurs propres de la jacobienne revient à étudier les valeurs propres de l'opérateur lui-même
- Conjecture numérique : répartition asymptotique des valeurs propres autour d'un cercle de centre $\left(-\frac{1}{\Delta a_N}, 0\right)$ et de rayon $\frac{1}{\Delta a_N}$

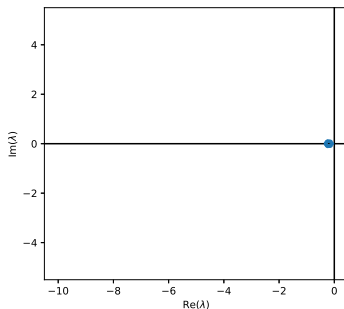


Figure 4 – Valeurs propres de l'équation de McKendrick semi-discrétisée, pour $N = 10$

Système proie-prédateurs structuré en âge

Passage à une dynamique de population type McKendrick

- Réduction du système Lotka-Volterra à un système McKendrick pur
- Opérateur de McKendrick linéaire
⇒ étudier la stabilité via les valeurs propres de la jacobienne revient à étudier les valeurs propres de l'opérateur lui-même
- Conjecture numérique : répartition asymptotique des valeurs propres autour d'un cercle de centre $\left(-\frac{1}{\Delta a_N}, 0\right)$ et de rayon $\frac{1}{\Delta a_N}$

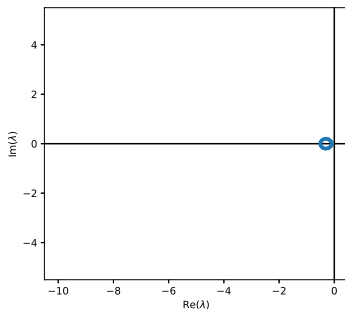


Figure 4 – Valeurs propres de l'équation de McKendrick semi-discrétisée, pour $N = 20$

Système proie-prédateurs structuré en âge

Passage à une dynamique de population type McKendrick

- Réduction du système Lotka-Volterra à un système McKendrick pur
- Opérateur de McKendrick linéaire
⇒ étudier la stabilité via les valeurs propres de la jacobienne revient à étudier les valeurs propres de l'opérateur lui-même
- Conjecture numérique : répartition asymptotique des valeurs propres autour d'un cercle de centre $\left(-\frac{1}{\Delta a_N}, 0\right)$ et de rayon $\frac{1}{\Delta a_N}$

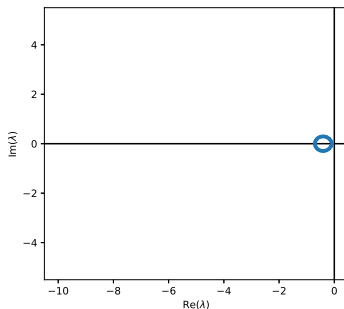


Figure 4 – Valeurs propres de l'équation de McKendrick semi-discrétisée, pour $N = 30$

Système proie-prédateurs structuré en âge

Passage à une dynamique de population type McKendrick

- Réduction du système Lotka-Volterra à un système McKendrick pur
- Opérateur de McKendrick linéaire
⇒ étudier la stabilité via les valeurs propres de la jacobienne revient à étudier les valeurs propres de l'opérateur lui-même
- Conjecture numérique : répartition asymptotique des valeurs propres autour d'un cercle de centre $\left(-\frac{1}{\Delta a_N}, 0\right)$ et de rayon $\frac{1}{\Delta a_N}$

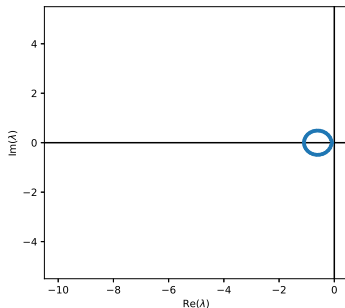


Figure 4 – Valeurs propres de l'équation de McKendrick semi-discrétisée, pour $N = 50$

Système proie-prédateurs structuré en âge

Passage à une dynamique de population type McKendrick

- Réduction du système Lotka-Volterra à un système McKendrick pur
- Opérateur de McKendrick linéaire
⇒ étudier la stabilité via les valeurs propres de la jacobienne revient à étudier les valeurs propres de l'opérateur lui-même
- Conjecture numérique : répartition asymptotique des valeurs propres autour d'un cercle de centre $\left(-\frac{1}{\Delta a_N}, 0\right)$ et de rayon $\frac{1}{\Delta a_N}$

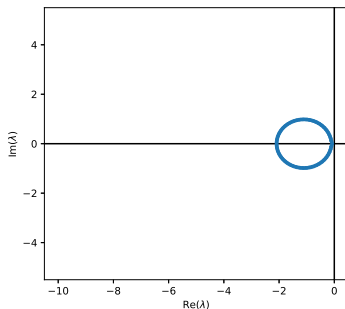


Figure 4 – Valeurs propres de l'équation de McKendrick semi-discrétisée, pour $N = 100$

Système proie-prédateurs structuré en âge

Passage à une dynamique de population type McKendrick

- Réduction du système Lotka-Volterra à un système McKendrick pur
- Opérateur de McKendrick linéaire
⇒ étudier la stabilité via les valeurs propres de la jacobienne revient à étudier les valeurs propres de l'opérateur lui-même
- Conjecture numérique : répartition asymptotique des valeurs propres autour d'un cercle de centre $\left(-\frac{1}{\Delta a_N}, 0\right)$ et de rayon $\frac{1}{\Delta a_N}$

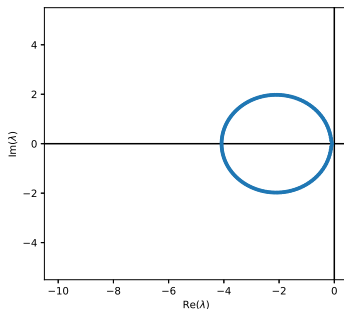


Figure 4 – Valeurs propres de l'équation de McKendrick semi-discrétisée, pour $N = 200$

Système proie-prédateurs structuré en âge

Passage à une dynamique de population type McKendrick

- Réduction du système Lotka-Volterra à un système McKendrick pur
- Opérateur de McKendrick linéaire
⇒ étudier la stabilité via les valeurs propres de la jacobienne revient à étudier les valeurs propres de l'opérateur lui-même
- Conjecture numérique : répartition asymptotique des valeurs propres autour d'un cercle de centre $\left(-\frac{1}{\Delta a_N}, 0\right)$ et de rayon $\frac{1}{\Delta a_N}$

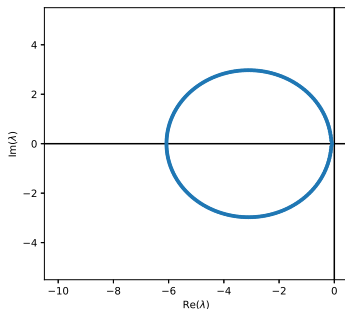


Figure 4 – Valeurs propres de l'équation de McKendrick semi-discrétisée, pour $N = 300$

Système proie-prédateurs structuré en âge

Passage à une dynamique de population type McKendrick

- Réduction du système Lotka-Volterra à un système McKendrick pur
- Opérateur de McKendrick linéaire
⇒ étudier la stabilité via les valeurs propres de la jacobienne revient à étudier les valeurs propres de l'opérateur lui-même
- Conjecture numérique : répartition asymptotique des valeurs propres autour d'un cercle de centre $\left(-\frac{1}{\Delta a_N}, 0\right)$ et de rayon $\frac{1}{\Delta a_N}$

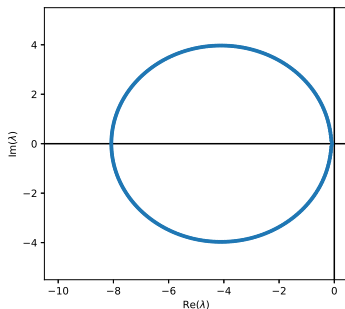


Figure 4 – Valeurs propres de l'équation de McKendrick semi-discrétisée, pour $N = 400$

Système proie-prédateurs structuré en âge

Passage à une dynamique de population type McKendrick

- Réduction du système Lotka-Volterra à un système McKendrick pur
- Opérateur de McKendrick linéaire
⇒ étudier la stabilité via les valeurs propres de la jacobienne revient à étudier les valeurs propres de l'opérateur lui-même
- Conjecture numérique : répartition asymptotique des valeurs propres autour d'un cercle de centre $\left(-\frac{1}{\Delta a_N}, 0\right)$ et de rayon $\frac{1}{\Delta a_N}$

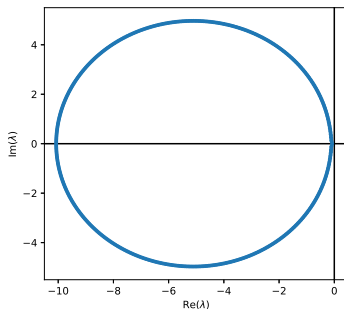


Figure 4 – Valeurs propres de l'équation de McKendrick semi-discretisée, pour $N = 500$

Equation de McKendrick semi-discrétisée en âge

Formulation du problème aux valeurs propres

■ Equations semi-discrétisées :

$$\left\{ \begin{array}{l} d_t \psi_i + \frac{\psi_i - \psi_{i-1}}{\Delta a_N} + \mu_i \psi_i = 0 \quad 1 \leq i \leq N-1 \\ d_t \psi_0 + \frac{1}{\Delta a_N} \psi_0 - \sum_{k=0}^{N-1} b_k \psi_k + \mu_0 \psi_0 = 0 \end{array} \right.$$

- N classes d'âge
- $\psi_i(t) = \int_{a_{i-\frac{1}{2}}}^{a_{i+\frac{1}{2}}} \phi(t, a) da$
- schéma décentré amont : $\phi\left(t, a_{i+\frac{1}{2}}\right) \approx \frac{1}{\Delta a_N} \int_{a_{i-\frac{1}{2}}}^{a_{i+\frac{1}{2}}} \phi(t, a) da$
- $b_i = \frac{1}{\Delta a_N} \int_{a_{i-\frac{1}{2}}}^{a_{i+\frac{1}{2}}} b(a) da$
- $\mu_i = \frac{1}{\Delta a_N} \int_{a_{i-\frac{1}{2}}}^{a_{i+\frac{1}{2}}} \mu(a) da$

Equation de McKendrick semi-discrétisée en âge

Formulation du problème aux valeurs propres

- Problème aux valeurs propres :

$$\begin{cases} - \left(\frac{\psi_i - \psi_{i-1}}{\Delta a_N} + \mu_i \psi_i \right) = \lambda \psi_i & 1 \leq i \leq N-1 \\ - \left(\frac{1}{\Delta a_N} \psi_0 - \sum_{k=0}^{N-1} b_k \psi_k + \mu_0 \psi_0 \right) = \lambda \psi_0 \end{cases}$$

avec $\lambda \in \mathbb{C}$ et $(\psi_1 \cdots \psi_N) \in (L^1(I, \mathbb{C}))^N$

- Equation aux valeurs propres :

$$- \prod_{k=0}^{N-1} (1 + \Delta a_N (\mu_k + \lambda)) + \Delta a_N \sum_{i=0}^{N-1} b_i \prod_{k=i+1}^{N-1} (1 + \Delta a_N (\mu_k + \lambda)) = 0$$

- Hypothèse sur les classes d'âges fertiles :

- $b_i = 0$ pour $i \notin \llbracket n-m, n \rrbracket$, avec $n \sim \beta N$ et $m \sim \alpha n$
- remise à l'échelle : $z = 1 + \Delta a_n \lambda$
- équation aux valeurs propres réduite :

$$\prod_{k=1}^n (z + \Delta a_n \mu_k) = \Delta a_n \sum_{i=n-m}^n b_i \prod_{k=i+1}^n (z + \Delta a_n \mu_k)$$

(E_n)

Equation de McKendrick semi-discrétisée en âge

Répartition asymptotique des valeurs propres

$$\prod_{k=1}^n (z + \Delta a_n \mu_k) = \Delta a_n \sum_{i=n-m}^n b_i \prod_{k=i+1}^n (z + \Delta a_n \mu_k) \quad (E_n)$$

Théorème : propriétés asymptotique des valeur propres de (E_n)

On suppose la natalité et la mortalité constantes par morceaux.

- 1 Soit (z_n) une suite de solutions de (E_n) . Alors $\lim_{n \rightarrow +\infty} |z_n| = 1$
- 2 Pour tout $z_0 = e^{i\theta_0}$ dans \mathbb{U} , il existe (z_n) une suite de solutions de (E_n) qui converge vers z_0 .

⇒ densité de l'ensemble des solutions des équations (E_n) dans le cercle unité

Equation de McKendrick semi-discrétisée en âge

Répartition asymptotique des valeurs propres

$$\prod_{k=1}^n (z + \Delta a_n \mu_k) = \Delta a_n \sum_{i=n-m}^n b_i \prod_{k=i+1}^n (z + \Delta a_n \mu_k) \quad (E_n)$$

Démonstration.

- 1 $R = \limsup_{n \rightarrow +\infty} |z_n| \leq 1$. Si $R > 1$, pour n assez grand,

$$\left(\frac{R+1}{2}\right)^{1-\alpha} \leq |z_n| \leq \underbrace{u_n}_{\xrightarrow{n \rightarrow +\infty} 1}$$

- 2 $\liminf_{n \rightarrow +\infty} |z_n| \geq 1$. Sinon soit L tel que $(|z_n|) \xrightarrow{n \rightarrow +\infty} L < 1$.

Sous l'hypothèse constante par morceaux, réécrire (E_n) sous la forme $\xrightarrow{n \rightarrow +\infty} 0$

$$\prod_{j=0}^{K-1} (z_n + \Delta a_n M_j)^{p_n} = \underbrace{\Delta a_n}_{\sim \frac{\Delta \beta}{n}} \sum_{j=0}^{K-1} C_j \underbrace{\prod_{l=0}^{j-1} (z_n + \Delta a_n M_l)^{p_n}}_{\xrightarrow{n \rightarrow +\infty} 0, j \neq 0} \frac{\overbrace{(z_n + \Delta a_n M_j)^{p_n} - 1}_{\xrightarrow{n \rightarrow +\infty} 0}}{z_n + \Delta a_n M_j - 1}$$

$$\sim \frac{C}{n}$$

□

Equation de McKendrick semi-discrétisée en âge

Répartition asymptotique des valeurs propres

$$\prod_{k=1}^n (z + \Delta a_n \mu_k) = \Delta a_n \sum_{i=n-m}^n b_i \prod_{k=i+1}^n (z + \Delta a_n \mu_k) \quad (E_n)$$

Démonstration.

- 1 $R = \limsup_{n \rightarrow +\infty} |z_n| \leq 1$. Si $R > 1$, pour n assez grand,

$$\left(\frac{R+1}{2}\right)^{1-\alpha} \leq |z_n| \leq \underbrace{u_n}_{\xrightarrow{n \rightarrow +\infty} 1}$$

- 2 $\liminf_{n \rightarrow +\infty} |z_n| \geq 1$. Sinon soit L tel que $(|z_n|) \xrightarrow{n \rightarrow +\infty} L < 1$.

Passage au logarithme puis contradiction :

$$\underbrace{\sum_{j=0}^{K-1} \ln |z_n + \Delta a_n M_j|}_{\leq K \ln(L) < 0} = \underbrace{\frac{\ln(C) - \ln(n)}{p_n}}_{\xrightarrow{n \rightarrow +\infty} 0} + o(1)$$

□

Equation de McKendrick semi-discrétisée en âge

Répartition asymptotique des valeurs propres

$$\prod_{k=1}^n (z + \Delta a_n \mu_k) = \Delta a_n \sum_{i=n-m}^n b_i \prod_{k=i+1}^n (z + \Delta a_n \mu_k) \quad (E_n)$$

Démonstration.

- 1 reformulation de (E_n) comme une équation de point fixe
- 2 bijection entre \mathcal{D}_{n,θ_0} et $\overline{\mathcal{D}}(0,2)$ pour se ramener à un compact
- 3 théorème du point fixe de Brouwer sur $\overline{\mathcal{D}}(0,2)$

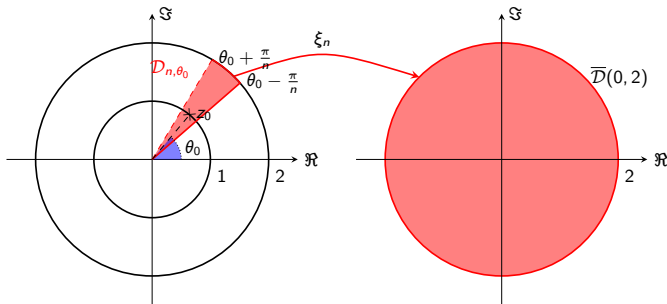


Figure 5 – Bijection entre \mathcal{D}_{n,θ_0} et $\overline{\mathcal{D}}(0,2)$

Conclusion

- résultat de densité sur la répartition des valeurs propres pour une équation de McKendrick semi-discrétisée en âge
- application à l'étude de la stabilité de systèmes de populations structurées basés sur le formalisme de McKendrick généralisé
- application aux propriétés de la matrice de Leslie
- lien avec le spectre continu de l'EDP de McKendrick

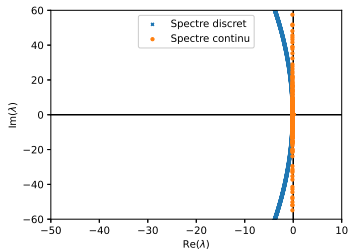


Figure 6 – Spectres continu et discret de l'équation de McKendrick

Conclusion

- résultat de densité sur la répartition des valeurs propres pour une équation de McKendrick semi-discrétisée en âge
- application à l'étude de la stabilité de systèmes de populations structurées basés sur le formalisme de McKendrick généralisé
- application aux propriétés de la matrice de Leslie
- lien avec le spectre continu de l'EDP de McKendrick

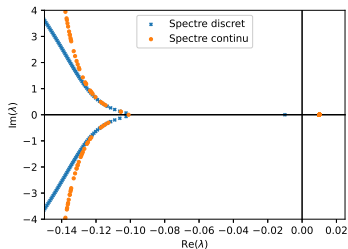


Figure 6 – Spectres continu et discret de l'équation de McKendrick

Références

- Richard Bellman and Kenneth L. Cooke. *Differential-Difference Equations*. The RAND Corporation, New York, 1963.
- Roman Cherniha and Vasyl' Davydovych. Construction and application of exact solutions of the diffusive Lotka–Volterra system : A review and new results. *Communications in Nonlinear Science and Numerical Simulation*, 113, 2022.
- Willy Feller. On the Integral Equation of Renewal Theory. *The Annals of Mathematical Statistics*, 12(3) :243–267, 1941. doi : <http://doi.org/10.1214/aoms/1177731708>.
- W. O. Kermack and A. G. McKendrick. A Contribution to the Mathematical Theory of Epidemics. *Proceedings of the Royal Society of London. Series A, Containing Papers of a Mathematical and Physical Character*, 115(772) :700–721, 1927.
- A. G. McKendrick. Applications of Mathematics to Medical Problems. *Proceedings of the Edinburgh Mathematical Society*, 44 :98–130, 1925.
- Y Takeuchi. *Global Dynamical Properties of Lotka-Volterra Systems*. World Scientific, 1996. doi : 10.1142/2942.
- Peter J. Wangersky. Lotka-Volterra Population Models. *Annual Review of Ecology and Systematics*, 9(1) :189–218, 1978. doi : <https://doi.org/10.1146/annurev.es.09.110178.001201>.